



(11) RO 126230 B1

(51) Int.Cl.

F24J 2/38 (2006.01),

F24J 2/54 (2006.01),

H01Q 1/12 (2006.01)

(12)

## BREVET DE INVENTIE

(21) Nr. cerere: **a 2010 01074**

(22) Data de depozit: **08/11/2010**

(45) Data publicării mențiunii acordării brevetului: **30/12/2016** BOPI nr. **12/2016**

(41) Data publicării cererii:  
**29/04/2011** BOPI nr. **4/2011**

(73) Titular:

• UNIVERSITATEA "TRANSILVANIA" DIN BRAŞOV, BD.EROILOR NR.29, BRAŞOV, BV, RO

(72) Inventatori:

• VIŞA ION, STR.CLOŞCA NR.48, BRAŞOV, BV, RO;  
• DIACONESCU DORIN, STR.TUDOR VLADIMIRESCU NR.36, BL.3, AP.10, BRAŞOV, BV, RO;  
• CREANGĂ NORA, STR. EGALITĂȚII NR.26, BRAŞOV, BV, RO;

• SĂULESCU RADU-GABRIEL,  
STR.PANSELUȚEI NR.10, BL.3, SC.A, ET.4, AP.17, CODLEA, BV, RO;

• BADEA MILIAN, BD. GRIVITEI NR.66, BL.4, ET.8, AP.36, BRAŞOV, BV, RO;

• TOTU IOAN, PIATA SFATULUI NR.29, AP.2, BRAŞOV, BV, RO;

• HERMENEAN IOANA,  
STRADA DE MIJLOC NR.150-152, SC.A, AP.5, BRAŞOV, BV, RO;

• BURDUHOS BOGDAN GABRIEL,  
STR.SIMION BĂRNUTIU NR.18, SIBIU, SB, RO

(56) Documente din stadiul tehnicii:

RO 125253 A2; US 6058930;  
EP 0706631 B1

(54) **MECANISM DE ORIENTARE ARTICULAT CU ROTI DINATE**

Examinator: ing. PATRICHE CORNEL



Orice persoană are dreptul să formuleze în scris și motivat, la OSIM, o cerere de revocare a brevetului de inventie, în termen de 6 luni de la publicarea mențiunii hotărârii de acordare a acesteia

RO 126230 B1

Mecanism de orientare articulat, cu roți dințate, destinat orientării unor module foto-voltaice sau colectoare termale, după o axă caracterizată printr-o cursă unghiulară mare și construcție simplă, în scopul maximizării energiei solare captate de acestea.

Este cunoscut un mecanism de orientare ce realizează curse unghiulare mari (brevet EP 1998 122 A1), construit dintr-un reductor de turăție, cu raport de transmitere foarte ridicat, acționat printr-un servomotor electric. Acest tip de mecanism de orientare are următoarele principale dezavantaje, față de un mecanism articulat cu actuator liniar: a) preț de cost net mai mare și b) complexitate structurală, constructivă și tehnologică net mai ridicată.

Mai este cunoscut un mecanism de orientare ce realizează curse unghiulare mari (brevet RO 125253 A2), construit dintr-un mecanism patrulater plan, ABCD, alcătuit din două balansiere, balansierul scurt și balansierul lung, o bielă, unde balansierul lung efectuează o deplasare unghiulară  $\phi_1$ , sub acțiunea unui mecanism DEG triunghiular plan, cu un actuator liniar, care se transmite amplificat, prin bielă, la balansierul scurt, imprimându-i o deplasare unghiulară  $\phi_2$  cu o valoare de cel puțin două ori mai mare, în condițiile unei gabariți minimi și a realizării unor deplasări unghiulare cu valori relativ mari.

Acest tip de mecanism are dezavantajul unui grad de complexitate mai ridicat, ceea ce implică astfel costuri de fabricație mai mari, însotit de un gabarit relativ mare.

Din brevetul US 6058930 se cunoaște un mecanism triunghiular plan, de orientare a unui panou solar, ce realizează deplasări unghiulare ale panoului solar pe direcția Est-Vest. Mecanismul se compune dintr-un actuator liniar ce conține un corp articulat pe un montant solidarizat în fundație, actuator care acționează o tijă articulată cu o manivelă solidară cu panoul, de asemenea, articulate la un stâlp de susținere, solidarizat în fundație.

Invenția își propune să extindă utilizarea mecanismelor cu actuatoare liniare și la sisteme de orientare caracterizate prin curse unghiulare mari, în condițiile unei complexități și a unui gabarit relativ reduse.

Problema tehnică pe care o rezolvă inventia este mărirea cursei unghiulare a unui stâlp de susținere a unei platforme solare antrenate de un actuator liniar, prin intermediul unui sistem de bare articulate și roți dințate, în vederea orientării, după o axă, a unor module fotovoltaice sau colectoare termale.

Mecanismul de orientare conform inventiei rezolvă problema tehnică propusă prin compunerea dintr-un actuator liniar articulat la o bază, de lungime  $l_1$ , și un balansier, de lungime  $l_2$ , articulat la un stâlp de susținere al unei platforme solare, și dintr-un angrenaj la care roțile dințate sunt articulate pe balansier, o roată conducătoare fiind solidară cu cilindrul/pistonul actuatorului liniar, și cealaltă roată condusă fiind solidară cu stâlpul platformei cu care se rotește, sub acțiunea actuatorului liniar, cu o deplasare unghiulară  $\phi_4$ , iar pentru eliminarea tendințelor de blocare și de supraîncărcare, rapoartele optime între mărimile geometrice ale mecanismului sunt determinate cu ajutorul unui algoritm de calcul.

Invenția prezintă următoarele avantaje:

- mecanismul conform inventiei extinde utilizarea unui actuator electric liniar telescopic și la realizarea unor curse unghiulare de orientare mari;
- mecanismul conform inventiei folosește proprietățile de funcționare ale unităților planetare în scopul măririi cursei unghiulare;
- mecanismul are o construcție simplă și cu fiabilitate ridicată;
- este relativ ieftin și nu ridică probleme tehnologice speciale.

Se prezintă, în continuare, un exemplu de realizare a inventiei, în legătură și cu fig. 1...9, ce reprezintă:

- fig. 1, configurație geometrică 2D a unui mecanism plan articulat, cu roți dințate, în care este pusă în evidență poziția inițială în care unghiul de transmitere are o valoare minimă admisă  $\gamma_{min}$ ;

# RO 126230 B1

<p>- fig. 2, configurație geometrică 2D a unui mecanism plan articulat cu roți dințate, în care este pusă în evidență poziția finală în care unghiul de transmitere are o valoare minim admisă <math>\gamma_{min}</math>;</p> <p>- fig. 3, configurație geometrică 2D a unui mecanism plan articulat în care sunt puse în evidență poziția initială, cea finală și cursa actuatorului S, în care unghiul de transmitere are o valoare minim admisă <math>\gamma_{min}</math>;</p> <p>- fig. 4, configurație geometrică 2D a unui mecanism planetar diferențial, atașat mecanismului plan articulat din fig. 3;</p> <p>- fig. 5, variații ale cursei unghiulare <math>\phi_4</math> în funcție de unghiul de transmitere minim (<math>\gamma_{min}</math>) pentru cinci valori discrete ale raportului de transmitere <math>i_0</math> însotite de valori numerice ale unghiului <math>\gamma_{min}</math> corespunzătoare unei curse unghiulare dintr-un exemplu considerat (<math>\phi_4=200^\circ</math>);</p> <p>- fig. 6, variații ale raportului <math>I_1/I_2</math> (lungime bază/lungime balansier) în funcție de unghiul de transmitere minim (<math>\gamma_{min}</math>), pentru șase valori discrete ale raportului <math>k_a</math> (<math>k_a=AC_1/I_2</math>), însotite de valori numerice ale raportului <math>I_1/I_2</math> corespunzătoare unor unghiuri de transmitere minime din exemplul considerat (<math>\gamma_{min} = 34,44</math>; <math>\gamma_{min} = 48,33</math>);</p> <p>- fig. 7, schema 3D a unui exemplu de aplicare a mecanismului din fig. 1 și 2, în cazul orientării azimutale a unei platforme fotovoltaice cu orientare de tip azimut-altitudine;</p> <p>- fig. 8, detaliu din fig. 7;</p> <p>- fig. 9, algoritm de calcul pentru dimensionarea mecanismului.</p> <p>Mecanismul de orientare conform inventiei este format dintr-un mecanism triunghiular plan articulat (fig. 7, 8), alcătuit dintr-o bază 1 de lungime <math>I_1</math>, un balansier 2, de lungime <math>I_2</math>, articulat la un stâlp de susținere 6 al unei platforme solare, un actuator liniar D, de tip cilindru-piston, sau cu șurub, în care cilindrul/pistonul 5 este solidar cu o roată dințată 3, cu un număr <math>z_3</math> de dinți, aflată în angrenare cu o roată dințată 4, cu un număr <math>z_4</math> de dinți, solidară cu stâlpul 6 al platformei solare; ambele roți sunt articulate cu balansierul 2, formând un mecanism planetar diferențial, în care: balansierul 2 joacă rol de braț port-satelit, roata 3 este satelit, iar roata centrală 4 este roată condusă.</p> <p>Actuatorul liniar D induce, prin intermediul roții dințate 3, o mișcare de rotație roții dințate 4, pe o cursă unghiulară mare <math>\phi_4</math>. Mecanismul plan 1-2-D, de tip triunghi cu o latură variabilă, în care elementul 1 este fix, are o funcționare optimă, fără tendință de blocare, dacă în pozițiile sale extreme (fig. 1 și 2) unghiul ascuțit, format de axa actuatorului D și axa balansierului 2, realizează unghiuri de transmitere a căror valoare <math>\gamma</math> nu coboară sub o valoare minim admisă <math>\gamma_{min\ ad}</math>, ce asigură evitarea tendinței de blocare, uzual <math>\gamma_{min\ ad} \geq 25^\circ \dots 30^\circ</math>; îndeplinirea acestei condiții, însotită de realizarea unei curse unghiulare impuse <math>\phi_4</math>, este posibilă pentru anumite corelații între lungimile elementelor mecanismului de tip triunghi variabil și raportul numerelor de dinți ai roților. Aceste corelații pot fi determinate grafic cu ajutorul fig. 5 și 6, bazate pe adoptarea unor rapoarte <math>i_0 = -z_3/z_4</math> (fig. 4) și <math>k_a = AC_1/I_2</math> (fig. 3), cu valori discrete în intervale rezonabile (<math>i_0 = -0,6; -0,8; -1; -1,2; -1,4</math> și <math>k_a = 0,2; 0,6; 1; 1,4; 2; 3</math>).</p> <p>În continuare se prezintă un exemplu de dimensionare bazat pe un algoritm prezentat în fig. 9, și pe fig. 5 și 6.</p>	<p style="margin-bottom: 10px;">1</p> <p style="margin-bottom: 10px;">3</p> <p style="margin-bottom: 10px;">5</p> <p style="margin-bottom: 10px;">7</p> <p style="margin-bottom: 10px;">9</p> <p style="margin-bottom: 10px;">11</p> <p style="margin-bottom: 10px;">13</p> <p style="margin-bottom: 10px;">15</p> <p style="margin-bottom: 10px;">17</p> <p style="margin-bottom: 10px;">19</p> <p style="margin-bottom: 10px;">21</p> <p style="margin-bottom: 10px;">23</p> <p style="margin-bottom: 10px;">25</p> <p style="margin-bottom: 10px;">27</p> <p style="margin-bottom: 10px;">29</p> <p style="margin-bottom: 10px;">31</p> <p style="margin-bottom: 10px;">33</p> <p style="margin-bottom: 10px;">35</p> <p style="margin-bottom: 10px;">37</p> <p style="margin-bottom: 10px;">39</p> <p style="margin-bottom: 10px;">41</p>
--	---

1           *Exemplu de calcul*

3           Se cunosc:

- 5           - structura mecanismului de orientare în care dimensiunile  $l_1$ ,  $l_2$  și  $AC_1$  sunt necunoscute (fig. 1...3);
- 7           - cursa unghiulară de orientare impusă  $\varphi_4 = 200^\circ$ ;
- 9           - unghiul de transmitere minim admis  $\gamma \geq \gamma_{\min ad} = 30^\circ$  (pentru transmiterea forțelor fără tendință de blocare).

11           Se cer:

13           a) valorile rapoartelor între dimensiunile mecanismului cu bare articulate  $l_1/l_2$ ,  $AC_1/l_2 = k_a$  și  $i_0$  ( $i_0 = -z_3/z_4$ ) pentru care se realizează un gabarit cât mai redus și unghiuri de transmitere cât mai mari;

15           b) dimensiunile mecanismului în premsa unei aplicații în care:

- 17           - se folosește un actuator liniar cu o cursă de  $s = 500$  mm;
- 19           - gabaritul angrenajului planetar impune utilizarea unui balansier  $l_2 = 300$  mm, iar raportul  $AC_1/l_2 = k_a = 0,6$ .

### **Etapa I**

21           Pentru valoarea impusă a unghiului de orientare  $\varphi_4 = 200^\circ$ , cu ajutorul fig. 5 se determină valorile unghiului de transmitere  $\gamma_{\min}$ , corespunzătoare valorilor discrete ale raportului de transmitere  $i_0$ , cu reținerea valorilor care asigură evitarea blocării ( $\gamma_{\min} \geq \gamma_{\min ad} = 30^\circ$ ); pentru  $\varphi_4 = 200^\circ$  și  $i_0 = -0,6; -0,8; -1; -1,2; -1,4$  se obțin următoarele valori (fig. 5):  $\gamma_{\min} = 34,44^\circ$  ( $i_0 = -0,8 > \gamma_{\min ad} = 30^\circ$ ),  $40^\circ$  ( $i_0 = -1 > \gamma_{\min ad} = 30^\circ$ ),  $44,54^\circ$  ( $i_0 = -1,2 > \gamma_{\min ad} = 30^\circ$ ),  $48,33^\circ$  ( $i_0 = -1,4 > \gamma_{\min ad} = 30^\circ$ ).

### **Etapa II**

23           Cu ajutorul fig. 6 se determină valorile raportului  $l_1/l_2$ , între cele două limite ale lui  $\gamma_{\min}$  pentru fiecare dintre perechile de valori ( $\gamma_{\min}; k_a$ ) stabilite anterior:  $l_1/l_2 = 3,86$  pentru ( $\gamma_{\min} = 34,44^\circ, k_a = 3$ ),  $l_1/l_2 = 2,88$  pentru ( $\gamma_{\min} = 34,44^\circ, k_a = 2$ ),  $l_1/l_2 = 2,29$  pentru ( $\gamma_{\min} = 34,44^\circ, k_a = 1,4$ ),  $l_1/l_2 = 1,91$  pentru ( $\gamma_{\min} = 34,44^\circ, k_a = 1$ ),  $l_1/l_2 = 1,53$  pentru ( $\gamma_{\min} = 34,44^\circ, k_a = 0,6$ ),  $l_1/l_2 = 1,17$  pentru ( $\gamma_{\min} = 34,44^\circ, k_a = 0,2$ ),  $l_1/l_2 = 3,82$  pentru ( $\gamma_{\min} = 40^\circ, k_a = 3$ ),  $l_1/l_2 = 2,83$  pentru ( $\gamma_{\min} = 40^\circ, k_a = 2$ ),  $l_1/l_2 = 2,25$  pentru ( $\gamma_{\min} = 40^\circ, k_a = 1,4$ ),  $l_1/l_2 = 1,87$  pentru ( $\gamma_{\min} = 40^\circ, k_a = 1$ ),  $l_1/l_2 = 1,51$  pentru ( $\gamma_{\min} = 40^\circ, k_a = 0,6$ ),  $l_1/l_2 = 1,16$  pentru ( $\gamma_{\min} = 40^\circ, k_a = 0,2$ ),  $l_1/l_2 = 3,77$  pentru ( $\gamma_{\min} = 44,54^\circ, k_a = 3$ ),  $l_1/l_2 = 2,80$  pentru ( $\gamma_{\min} = 44,54^\circ, k_a = 2$ ),  $l_1/l_2 = 2,22$  pentru ( $\gamma_{\min} = 44,54^\circ, k_a = 1,4$ ),  $l_1/l_2 = 1,85$  pentru ( $\gamma_{\min} = 44,54^\circ, k_a = 1$ ),  $l_1/l_2 = 1,48$  pentru ( $\gamma_{\min} = 44,54^\circ, k_a = 0,6$ ),  $l_1/l_2 = 1,15$  pentru ( $\gamma_{\min} = 44,54^\circ, k_a = 0,2$ ),  $l_1/l_2 = 3,74$  pentru ( $\gamma_{\min} = 48,33^\circ, k_a = 3$ ),  $l_1/l_2 = 2,76$  pentru ( $\gamma_{\min} = 48,33^\circ, k_a = 2$ ),  $l_1/l_2 = 2,19$  pentru ( $\gamma_{\min} = 48,33^\circ, k_a = 1,4$ ),  $l_1/l_2 = 1,82$  pentru ( $\gamma_{\min} = 48,33^\circ, k_a = 1$ ),  $l_1/l_2 = 1,46$  pentru ( $\gamma_{\min} = 48,33^\circ, k_a = 0,6$ ),  $l_1/l_2 = 1,14$  pentru ( $\gamma_{\min} = 48,33^\circ, k_a = 0,2$ ).

### **Etapa III**

39           Alegerea soluției optime dintre rezultatele obținute, sistematizate în tabel, precum și dintre cele care pot fi generate din acestea prin interpolare liniară depinde de particularitățile concrete ale aplicației practice, privind gabaritul, cursa actuatorului liniar, încărcarea structurii etc. Astfel, în condițiile datelor numerice considerate inițial ( $s = 500$  mm,  $h = 300$  mm și  $k_a = 0,6$ ), din tabelul de mai jos se decelează ca soluție optimă soluția cu valorile înscrise îngroșat:

45            $\varphi_4 = 200^\circ$ ;  $l_2 = 300$  mm,  $i_0 = -1$  (adică:  $z_3 = z_4$ ),  $\gamma_{\min} = 40^\circ$ ,  $k_a = 0,6$ ,  $l_1 = 452,91$  mm și  $s = 459,62$  mm.

# RO 126230 B1

**Date de intrare:**

$\Delta\varphi = 200^\circ$ ;  $\gamma_{\min.ad.} = 30^\circ$ ;  
 $l_2 = 300 \text{ mm}$ ;  $k_a = AC_1/l_2 = 0,6$ ;  
 $S = AC_2 - AC_1 = 500 \text{ mm}$

$i_0$	$\gamma$	$k_a$	$l_1/l_2$	$l_1$	$s$
-	[ $^\circ$ ]	-	-	[mm]	
-0,8	34,44	0,2	1,17	351,12	494,83
		0,6	1,53	459,85	494,83
		1,0	1,91	573,10	494,83
		1,4	2,29	688,64	494,83
		2,0	2,88	864,23	494,83
		3,0	3,86	1159,89	494,83
-1	40	0,2	1,16	348,10	459,62
		0,6	1,51	452,91	459,62
		1,0	1,87	563,81	459,62
		1,4	2,25	677,82	459,62
		2,0	2,83	851,92	459,62
		3,0	3,82	1146,15	459,62
-1,2	44,54	0,2	1,15	345,33	427,65
		0,6	1,48	446,51	427,65
		1,0	1,85	555,24	427,65
		1,4	2,22	667,84	427,65
		2,0	2,80	840,59	427,65
		3,0	3,77	1133,53	427,65
-1,4	48,33	0,2	1,14	342,83	398,90
		0,6	1,46	440,68	398,90
		1,0	1,82	547,42	398,90
		1,4	2,19	658,74	398,90
		2,0	2,76	830,26	398,90
		3,0	3,74	1122,06	398,90

3        1. Mecanism de orientare articulat, cu roți dințate, format dintr-un mecanism plan,  
4        articulat, de tip triunghi cu o latură variabilă, alcătuit dintr-un actuator liniar (D), articulat la  
5        o bază (1) de lungime  $l_1$ , și un balansier (2) de lungime  $l_2$ , articulat la un stâlp de susținere  
6        al unei platforme solare, și dintr-un angrenaj cu roți dințate (3 și 4), **caracterizat prin aceea**  
7        că angrenajul cu roți dințate (3 și 4) este articulat pe balansier, o roată (3) conduce cătoare fiind  
8        solidară cu cilindrul/pistonul (5) actuatorului liniar (D), și cealaltă roată (4) condusă fiind  
9        solidară cu stâlpul (6) platformei cu care se rotește, sub acțiunea actuatorului liniar (D), cu  
o deplasare unghiulară  $\varphi_4$ .

11        2. Mecanism de orientare, conform revendicării 1, **caracterizat prin aceea că**, pentru  
12        eliminarea tendințelor de blocare și de supraîncărcare, rapoartele optime între mărimele  
13        geometrice ale mecanismului de antrenare sunt determinate cu ajutorul unui algoritm de  
14        calcul, și sunt notate astfel:  $k_a = AC_1/l_2$ ,  $s = AC_2 - AC_1$ ,  $\varphi_4$ ,  $\gamma_{min}$ ,  $l_1$ ,  $l_2$ ,  $i_0$ , unde  $\varphi_4$  este cursa  
15        unghiulară cerută,  $\gamma_{min}$  este unghiul minim de transmitere,  $l_1$  este lungimea bazei (1),  $l_2$  este  
16        lungimea balansierului (2),  $AC_1$  reprezintă mărimea laturii variabile a triunghiului când  
17        actuatorul se află în poziție strânsă,  $s$  reprezintă cursa actuatorului și, respectiv,  $AC_2$  este  
18        mărimea laturii variabile a triunghiului când actuatorul se află în poziție extinsă, iar  $i_0 = -z_3/z_4$   
19        este raportul de transmitere unde, pentru rapoartele  $k_a$  și  $i_0$ , se consideră inițial valori discrete  
20        în intervale cuprinse, respectiv,  $k_a$  între 0,2 și 3, iar  $i_0$  între -0,8 și -1,4.

21        3. Mecanism de orientare, conform revendicării 2, **caracterizat prin aceea că**  
22        dimensiunile optime ale mecanismului de orientare  $l_1$ ,  $k_a$  și  $s$  se determină în funcție de  
23        lungimea balansierului  $l_2$ , pentru o cursă unghiulară de orientare impusă  $\varphi_4$  a roții dințate (4)  
24        condusă, a unui unghi de transmitere minim admis  $\gamma_{min\ ad}$ , cu ajutorul nomogramelor și a  
25        algoritmului de calcul.

# RO 126230 B1

(51) Int.Cl.

**F24J 2/38** (2006.01);

**F24J 2/54** (2006.01);

**H01Q 1/12** (2006.01)

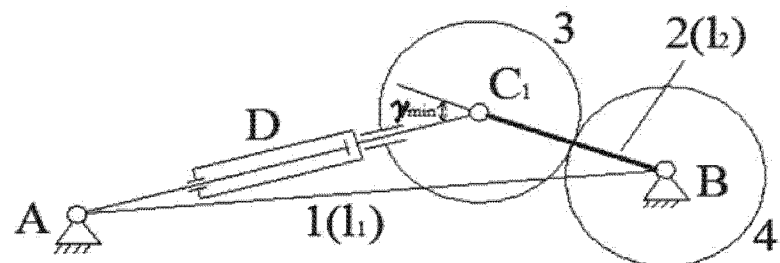


Fig. 1

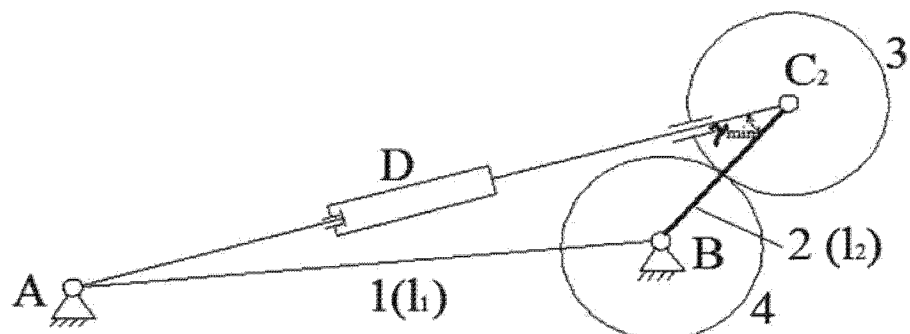


Fig. 2

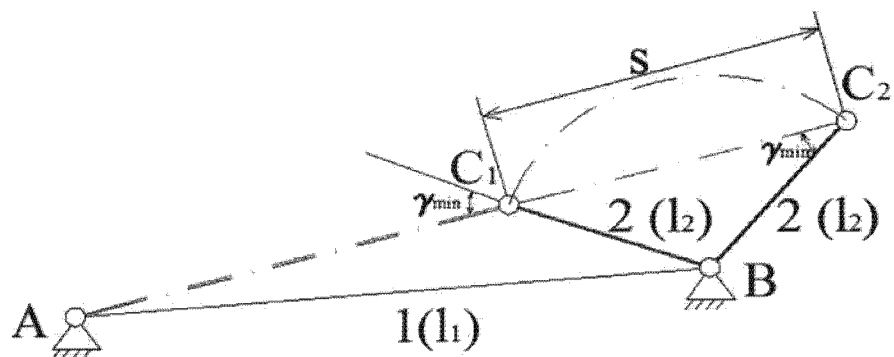


Fig. 3

# RO 126230 B1

(51) Int.Cl.

*F24J 2/38* (2006.01),

*F24J 2/54* (2006.01),

*H01Q 1/12* (2006.01)

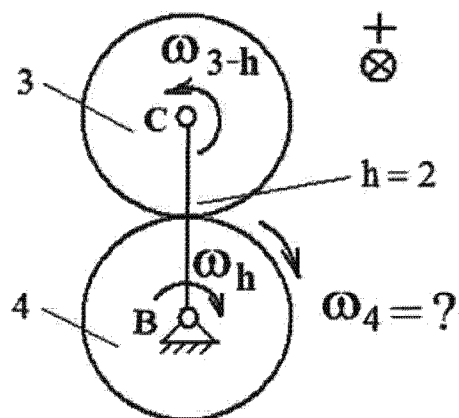


Fig. 4

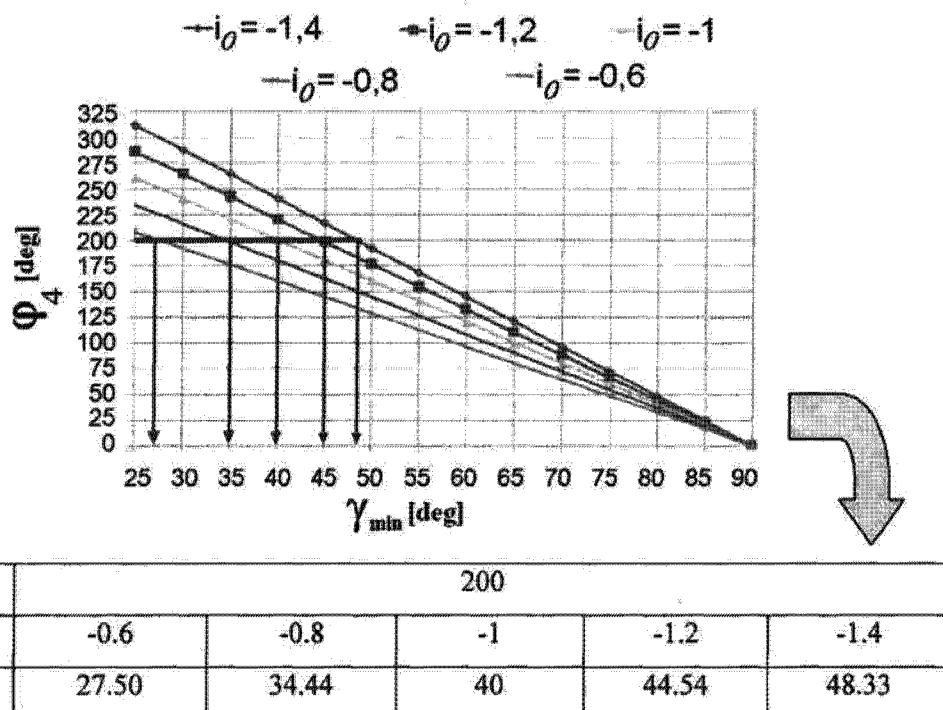


Fig. 5

# RO 126230 B1

(51) Int.Cl.

**F24J 2/38** (2006.01).

**F24J 2/54** (2006.01).

**H01Q 1/12** (2006.01)

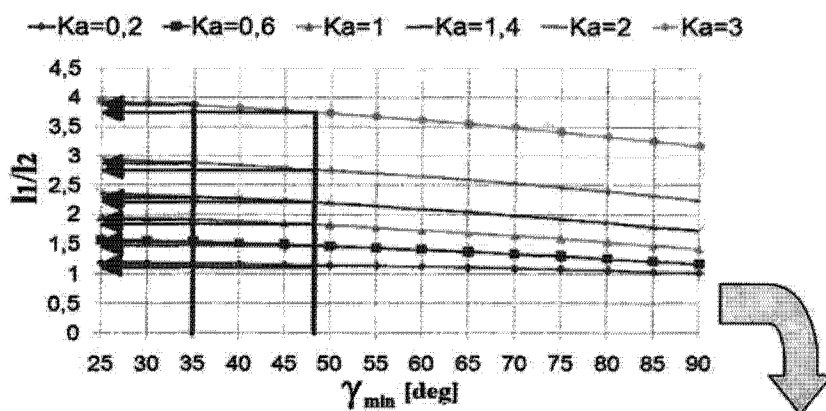


Fig. 6

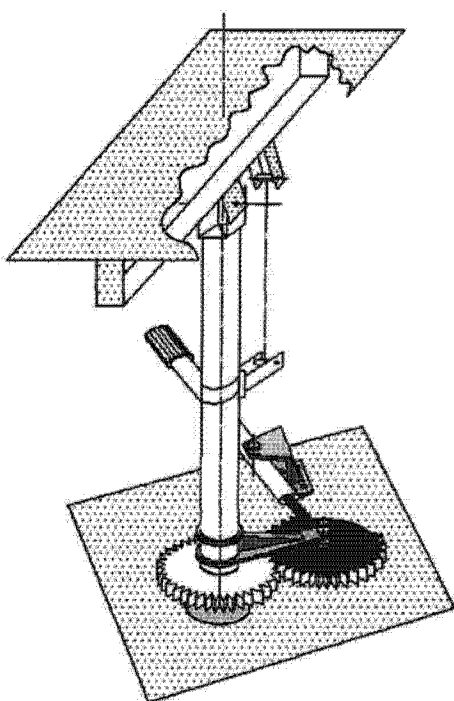


Fig. 7

# RO 126230 B1

(51) Int.Cl.

*F24J 2/38* (2006.01);

*F24J 2/54* (2006.01);

*H01Q 1/12* (2006.01)

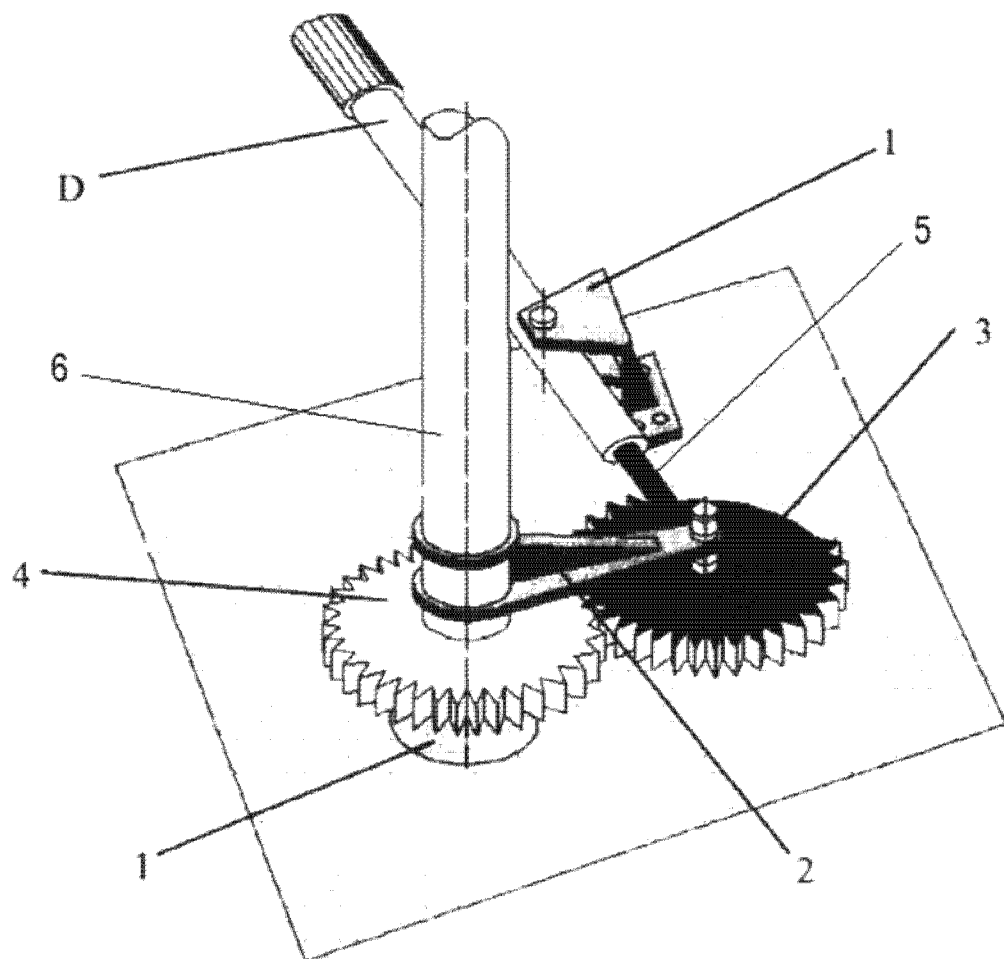


Fig. 8

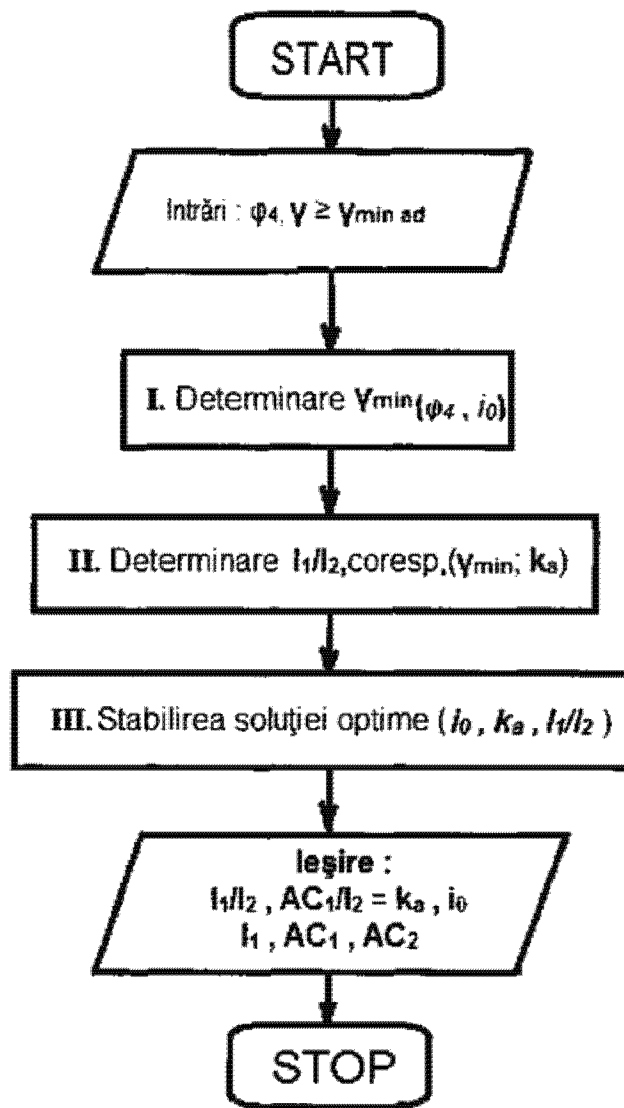


Fig. 9

